西北大學報(自然科學版). 2004. 02. 017 2004 年 4 月,第 34 卷第 2 期, Apr., 2004, Vol. 34, No. 2 Journal of Northwest University (Natural Science Edition)

•生命科学与医药学•

## 盐生盐杆菌 S9 营养条件及紫膜分离的初步研究

郭爱莲1,徐金贵1,侯 洵2,陈 烽2

(1. 西北大学 生命科学学院,陕西 西安 710069;2.中国科学院 西安光学精密机械研究所,陕西 西安 710068)

摘要:目的 为获得紫膜,研究了盐生盐杆菌( $Halobacterium\ halobium$ )S9的最适营养条件和紫膜的分离。方法通过该菌的培养特征、不同培养基、细胞色素的测定等,利用正交试验法对 NaCl、酪蛋白氨基酸、MgSO4•7H2O和甘油这4个重要因素进行了优化。结果 最适营养和浓度分别是: NaCl 200 g/L,酪蛋白氨基酸 10 g/L,MgSO4•7H2O 25 g/L,甘油 10 g/L。该菌株在光照条件下,38°C摇瓶培养 6 d,可用高速冷冻离心、透析袋、蔗糖密度梯度纯化、超速离心等得到紫膜。结论优化了盐生盐杆菌 S9的最适营养条件,并确定了所获紫膜的基本性质,可指导用于分子电子器件,今后将继续对其作定量研究。

关键词:盐生盐杆菌S9;营养条件;优化;紫膜;分离

中图分类号: **0**935 文献标识码: A 文章编号: 1000-274 X (2004) 02-0191-04

盐生盐杆菌属于古细菌类[1],它们所产生的紫 膜具有重要的应用价值。紫膜是由细菌视紫红质 (bacteriorhodopsin, BR)和脂类组成的膜,在嗜盐菌 原生质膜上以碎片形式存在,在电子显微镜下,呈 圆、椭圆形膜片。其直径大约为 0.5 ~m, 厚度 5 nm,与原生质膜上其余部分红膜共面。在合适条件 下,紫膜可占整个膜表面的一半。分离到的紫膜类 脂的质量分数约25%,蛋白质的类脂为75%,类脂 成分与其他细胞膜中的类脂很相似。紫膜中的惟一 蛋白质是细菌视紫红质,由248个氨基酸组成,形成 7 个跨膜 α-螺旋, 定位于细胞膜上[2]。 3 个 BR 分子 构成的三聚体在细胞膜上形成一个刚性的二维六边 形的稳定特征结构,即紫膜。紫膜中的细菌视紫红 质是一种最有前途的光敏膜蛋白,具有光驱动质子 泵的功能,从而可形成重要的电化学梯度。BR 吸 收光子后,迅速发生视黄醛分子的异构变化,并形成 一系列的中间体,最后回到初始状态。BR 在光循 环过程中可进行质子运输,将质子由膜内运到膜外。 紫膜利用两侧的质子梯度进行合成 ATP 等生命活 动<sup>[3]</sup>。由于BR 在光化学循环中可将光能超快速地

转换成电能和化学能,并可以发生可逆的中间体互变,因而可以作为分子电子器件得到广泛的应用。由于它的代时长,因而给菌体的培养和紫膜的生产带来了极大的困难,所以非常有必要对营养条件进行研究,以提高菌体产率和紫膜产量。

## 1 试验材料和方法

#### 1.1 材料

- 1.1.1 菌种 Halobacterium halobium CCTCC AB91126,原编号 S9(中国典型培养物菌种保藏中心)
- 1.1.2 培养基 复合培养基(CM, g/L): NaCl 250, 酪蛋白氨基酸 7.5, 酵母浸膏 10, MgSO<sub>4</sub>•7H<sub>2</sub>O 20, 柠檬酸钠 3, KCl 2, FeSO<sub>4</sub>•7H<sub>2</sub>O 0.05, pH 7.0。 1.1.3 主要实验仪器 岛津 UV-265 型紫外分光光度计, Hitachi R<sup>22</sup>G 型高速冷冻离心机, Beckman L<sup>8</sup>-80 型超速离心机, 恒温摇瓶机等。

#### 1.2 方 法

1.2.1 形态特征

收稿日期:2002-08-06

基金项目:国家自然科学基金资助项目(69907006)

中国省份:郭爱斯(29494),从外外,临床中黑头,西北大学教授,从事微生物学研究。

1) 个体形态 采用革兰氏染色,利用 BS(内含20% NaCl 和 2% MgSO4 • 7H2O)溶液涂片,待风干后,用 2%的醋酸溶液固定 30 s,其余步骤同革兰氏染色中的步骤。然后,在光学显微镜下观察细菌细胞的形态,并测定大小。

2) 菌落特征 划线接种于牛奶-盐-琼脂培养基的平板 $^{[4]}$ ,置于恒温培养箱中,于  $37^{\circ}$ 光照培养 6 d。培养基的配制方法:①脱脂牛奶 150 mL, 0.06 MPa, 30 min 灭菌;②无机盐水溶液制作 30 mL, 内含 MgSO $_4$  •7H $_2$ O 3 g,KNO $_3$  0.6 g,NaCl 60 g 和 15 mg FeSO $_4$  •7H $_2$ O, 0.06 MPa, 30 min 灭菌;③琼脂溶液 120 mL, 内含酪蛋白氨基酸 1.5 g, 甘油 2 g, 琼脂 4.5 g, 0.06 MPa, 30 min 灭菌。在  $70^{\circ}$  左右,将②和③混匀,调 pH 至 8.4,然后混入成分①,摇匀,倒平板。 1.2.2 细胞色素的测定 $^{[5]}$  用 CM 培养基收集菌体,菌体经悬浮后,用体积比为 1:1 的氯仿一甲醇溶液抽提 2 h,用岛津 UV- $265 \text{ 型紫外分光光度计测其} <math>360 \sim 600 \text{ nm}$  波长的吸收光谱。

1.2.3 营养条件的优化 利用  $L_9(3^4)$  正交表试验,根据经验知,NaCl、酪蛋白氨基酸、MgSO<sub>4</sub>•7H<sub>2</sub>O和甘油 4 个因素间交互作用极小,故选用 4 因素 3 水平的  $L_9(3^4)$  正交表进行试验,因素及其水平见表 1。

1.2.4 紫膜的产生与分离 $^{[6,7]}$  采用优化后的培养基,在光照条件下,38℃,摇瓶培养 6 d,然后分离紫膜。利用 Hitachi R22G 型高速冷冻离心机,在7000 r/min,4℃,离心 30 min,收集菌体。用透析袋(截留值为  $1.3\times10^{-23}\sim1.6\times10^{-23}$  kg)裂解菌体,同时加入适量 DNase 液,置于蒸馏水中,在 4℃的条件下透析 48 h。裂解液经 18 000 r/min, 40 min 离心,弃去上清液,沉淀用适量蒸馏水溶解,相同条件反复处理多次至上清液呈淡紫色。然后用蔗糖密度梯度纯化,蔗糖梯度为:下层质量分数为60%,中层 43%,上层 38%。Beckman L8-80 型超速离心机,甩平转子,30 000 r/min,离心时间 6 h,离心温度 15℃。

分部收集各色带,用岛津 UV-265 型紫外分光 光度计在  $360\sim600$  nm 间作光谱扫描,以鉴定紫膜带。

## 2 结果与讨论

#### 2.1 形态特征

 基上, 菌落颜色为红色, 菌落直径约为 1 mm, 菌落中间凸起, 边缘完整, 表面湿润、光滑。

#### 2.2 细胞色素试验

色素的吸收光谱见图  $1_{\circ}$  S9 在 391,497 和 531 nm 处有吸收峰,其中在  $465\sim480$  nm 之间有一肩峰。这些与文献上报道的已知菌  $R_1$  的色素的光吸收峰相一致<sup>[7,8]</sup>。根据该吸收光谱,知其为类胡萝卜类色素,这也是极端嗜盐菌的一个特征。

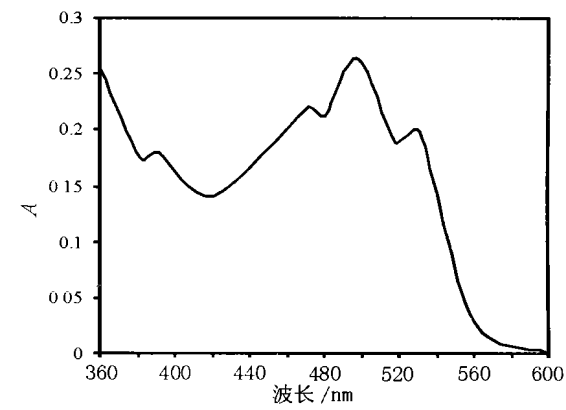


图 1 S 9 细胞色素的吸收光谱图

Fig. 1 Absorption peak wavelength of pigments of strain  $S^9$ 

#### 2.3 正交试验设计结果及其分析

2.3.1 正交试验结果 根据经验知,各因素间的交互作用极小,可以忽略,故采用  $L_9(3^4)$ 正交表进行研究。表头设计及试验结果与分析见表 1。根据各因素的极差(R)大小,可确定各因素的最优水平。由此得出各因素的最优水平为  $NaCl\ 200\ g/L$ ,酪蛋白氨基酸  $10\ g/L$ , $MgSO_4 \bullet 7H_2O\ 25\ g/L$ ,甘油  $10\ g/L$ 。由此初步确定最优组合为: $A_3B_1C_2D_3$ ,其他成分同 CM 培养基。

2.3.2 极差分析 对 NaCl、酪蛋白氨基酸、MgSO4 •  $7H_2O$  和甘油这 4 个因素进行极差分析,结果见图 2。表明,各因素对  $S^9$  生长的影响大小趋势是:酪蛋白氨基酸 $\geq$ NaCl $\geq$ 甘油 $\geq$ MgSO4 •  $7H_2O$ 。

#### 2.4 紫膜分离、纯化

极端嗜盐菌在蒸馏水中可以完全裂解,而紫膜的结构却很稳定,其功能很完整。因而,基于紫膜对蒸馏水的抗性,可使细胞膜破碎成小碎片和溶解性蛋白部分,再将蒸馏水中胞溶的细胞作级差离心,即可得到清洁的样品。

培养后的离心物为红色,在菌体裂解中,使用了透析袋,这可以减少后期的处理量,同时,该透析袋的截留值是  $1.3\times10^{-23}\sim1.6\times10^{-23}$  kg,而紫膜的BR 分子的相对分子量是  $4.3\times10^{-23}$  kg,因而可以保证紫膜片段留在袋内而不至于损失。在裂解中加

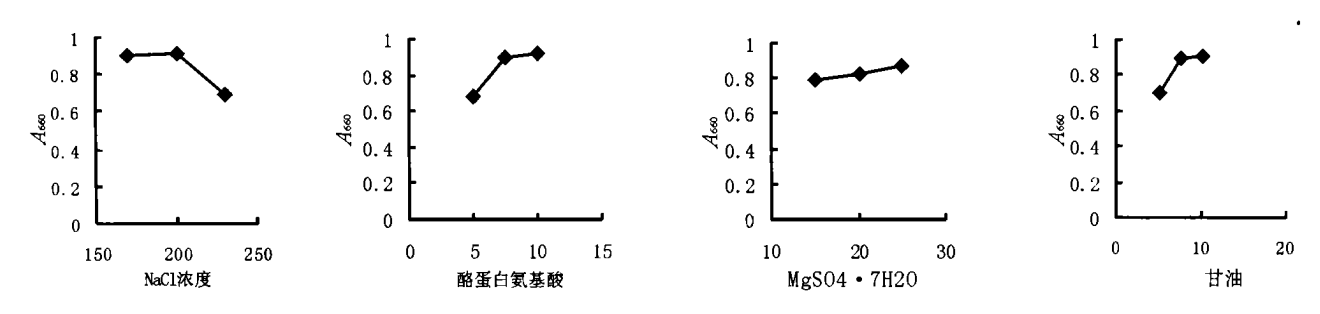
入 DNase, 可以水解核酸, 同时采用多次换水的措施, 可以降低裂解液的粘度。

### 表 1 S9 的 $L_9(3^4)$ 正交表与试验结果

Tab-1 Orthogonal table of  $L_9(3^4)$  and results of strain S9

		<u> </u>	C		~~~~~~~~~~~~~~~~~~~~~~~~~~~~~~~~~~~~~~
实验号	A	В	C	D	评价指标
	NaCl	酪蛋白氨基酸	$MgSO_4 \cdot 7H_2O$	甘 油	$A_{660}$
1	1 (230  g/L)	$1~(10~\mathrm{g/L})$	$1~(15~\mathrm{g/L})$	1 (5.0  g/L)	0.196
2	1 (230  g/L)	2 (5.0  g/L)	$2~(25~\mathrm{g/L})$	2 (7.5  g/L)	0.212
3	1 (230  g/L)	3 (7.5  g/L)	3 (20  g/L)	3 (10  g/L)	0.271
4	2 (170  g/L)	1 (10  g/L)	2 (25  g/L)	3 (10  g/L)	0.370
5	2 (170  g/L)	2 (5.0  g/L)	3 (20  g/L)	1 (5.0  g/L)	0.206
6	2 (170  g/L)	3 (7.5  g/L)	1 (15  g/L)	2 (7.5  g/L)	0.330
7	3 (200  g/L)	1 (10  g/L)	3 (20  g/L)	2 (7.5  g/L)	0.353
8	3 (200  g/L)	2 (5.0  g/L)	1 (15  g/L)	3 (10  g/L)	0.264
9	3 (200  g/L)	3 (7.5  g/L)	2 (25  g/L)	1 (5.0  g/L)	0.295
K1	0.679	0.919	0.790	0.697	
$K^2$	0.906	0.682	0.877	0.895	T = 2.497
<b>K</b> 3	0.912	0.896	0.830	0.905	
R	0.233	0.237	0.087	0.208	
优化组合	<b>A</b> 3	<b>B</b> 1	$\mathbf{C}^2$	<b>D</b> 3	

注:  $K^1$ ,  $K^2$ ,  $K^3$  分别是各水平的和, R 为极差, T 为评价指标的总和。



B(酪蛋白氨基酸) A(NaCl) D(甘油) C(MgSO4 • 7H2O)

图 2 各因素趋势图

Fig. 2 Tendency of Factors

经  $18\ 000\ r/min$ ,  $40\ min$  离心后得到的粗提纯液, 经蔗糖密度梯度离心后, 在 38%和 43%的交界面上有一红色带, 在 60%与 43%的交界面上有一淡紫色带, 在底部有黄色沉淀。小心地取出淡紫色带,经岛津 UV-265 检测, 结果表明: 淡紫色带在 565 nm 附近有最大吸收峰, 显示出紫膜的特征吸收峰 $[^{8}]$ (结果见图  $^{3}$ )。

## 3 小 结

本文利用正交试验优化了 S<sup>9</sup> 的营养条件,并且对紫膜的提取进行了初步的研究,取得了良好的效果。在今后的实验中,将对 S<sup>9</sup> 的紫膜产量进行定量研究。中国知网 https://www.cnki.net

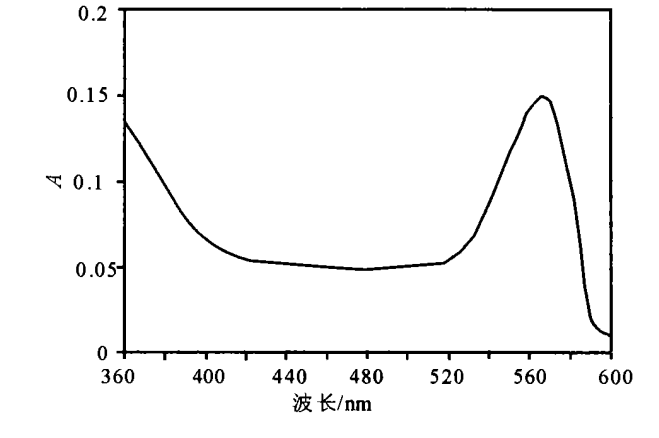


图 3 S9 紫膜吸收光谱

Fig. 3 Absorption spectrum of purple membrane

## 参考文献:

- [1] 杨苏声·细菌分类学[M]·北京:中国农业大学出版 社,1997.130-132.
- [2] KHORANA H G, GERBER G E, HERLIHY W C. Amino acid sequence of bacteriorhodopsin [J] · Proc Natl Acad Sci USA, 1979, 76(10): 5 046-5 050.
- [3] 王大珍,印明善.嗜盐杆菌的光能转化作用[J].微生物学通报,1981,8(6):277-279.
- [4] 张纪忠,黄静娟,徐德强,等.嗜盐杆菌属一新种[J]. 微生物学报,1990,30(2):87-93.

- [5] 王大珍,周培瑾,田新玉,等.极端嗜盐菌新种的鉴定 [J]. 微生物学报,1984,24(4),304-709.
- [6] 傅学奇,王今堆,周勇亮,等.细菌视紫红质的分离提纯及鉴定[J]. 吉林大学自然科学学报,1995,(1):84-86.
- [7] OESTERHELT D. STOECKENIUS W. Isolation of the cell membrane of *Halobacterium halobium* and its fraction into red and purple membrane [J]. Methods in Enzymology, 1974, 31: 667-678.
- [8] LANYI J K. Spectrophotometric determination of Halorhodopsin in *Halobacterium halobium* membranes [J]. Methods in Enzymology, 1981, 38: 439-443.

(编辑徐象平)

# Primary study on culture condition and separation of purple membrane of *Halobacterium halobium* S<sup>9</sup>

GUO Ai-lian<sup>1</sup>, XU Jin-gui<sup>1</sup>, HOU Xun<sup>2</sup>, CHEN Feng<sup>2</sup>

(1-College of Life Sciences, Northwest University, Xi'an 710069, China; 2-Xi'an Institue of Optics and Precision Mechanics, Academy Sinica, Xi'an, 710068, China)

Abstract: Aim Optimal nutritive condition and separation of purple membrane of *Halobacterium halobium* S<sup>9</sup> were studied. Methods With the study of this strain's cultural characteristics, different culture medium, measurement of the cell pigment and so on the four important factors. NaCl, Casamino acid, MgS O<sub>4</sub>•7H<sub>2</sub>O and glycerol, were optimized by orthogonal test. Results The optimal nutrition and concentration as followed: NaCl 200 g/L, Casamino acid 10 g/L, MgSO<sub>4</sub>•7H<sub>2</sub>O 25 g/L and glycerol 10 g/L. The strain was cultured under light treatment, temperature 38°C, shake cultivation 6 days, the purple membrane was gained through high speed freeze centrifugation, dialysis, sucrose density gradient centrifugation, superspeed centrifugation etc. Conclution From *Halobacterium halobium* S<sup>9</sup> cultured with optimal nutritive condition, purified purple membrane was gained through the above method.

Key words: Halobacterium halobium S<sup>9</sup>; nutritive condition; optimize; purple membrane; separation